

## ВИРТУАЛЬНОЕ $\gamma\gamma$ -РАССЕЯНИЕ И НОВЫЙ ТИП СКЕЙЛИНГА

26.28

В. Л. Черняк

В недавних работах [1] (см. также [2]) была отмечена возможность экспериментального измерения абсорбтивной части амплитуды виртуального  $\gamma\gamma$ -рассеяния вперед (рис. 1, а). Исходной является реакция на встречных электронных пучках " $e + e \rightarrow e + e + \text{адроны}$ ", амплитуда которой включает диаграмму рис. 1, б. Таким образом, сечение, просуммированное по всем адронным состояниям, включает абсорбтивную часть амплитуды  $\gamma\gamma$ -рассеяния.

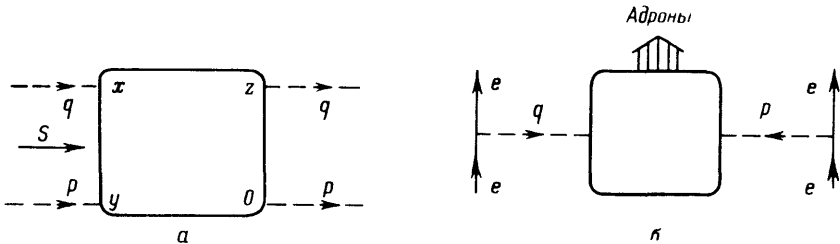


Рис. 1

В данной работе представлены качественные предсказания для асимптотики амплитуды рис. 1, а в области больших масс фотонов.

С теоретической точки зрения, виртуальное  $\gamma\gamma$ -рассеяние предоставляет новые интересные возможности в связи с тем, что все четыре частицы находятся вне массовой поверхности. В отличие от случая неупругого  $ep$ -рассеяния, здесь уже необходима информация о свойствах произведений не только локальных, но и билкальных операторов на световом конусе.

Амплитуда имеет вид (для упрощения рассмотрены скалярные фотоны):

$$T(s, p^2, q^2) \sim \int dx dy dz e^{-iq(x-z) - ipy} \langle 0 | T \{ I(x) I(y) I(z) I(0) \} | 0 \rangle. \quad (1)$$

Матричный элемент в (1) есть функция шести переменных. Представим его в виде:

$$\langle 0 | T \{ I(x) I(y) I(z) I(0) \} | 0 \rangle \equiv \phi_{\text{tot}} = \{ \phi_4^\sigma [ (x-y)^2, (x-z)^2, z^2, y^2 ] + \phi_4^b + \tilde{\phi}_4^\sigma \} + \phi_{\text{ост}} \quad (2)$$

( $\phi_4^b$  получается из  $\phi_4^\sigma$  заменой  $x \leftrightarrow y$ ,  $\tilde{\phi}_4^\sigma$  — заменой  $x \leftrightarrow z$ ). В пределе выключенного сильного взаимодействия функции  $\phi_4$  остаются, тогда как  $\phi_{\text{ост}} \rightarrow 0$ . Сделаем следующее предположение о поведении  $\phi_{\text{tot}}$  на малых расстояниях.

1. Функции  $\phi_4$  имеют простые полюса по всем своим аргументам, независимо от порядка перехода к пределу. Например,

$$\phi_4^\sigma \sim \frac{1}{(x-y)^2 - i\epsilon} \frac{1}{(x-z)^2 - i\epsilon} \frac{1}{z^2 - i\epsilon} \frac{1}{y^2 - i\epsilon}, \quad (3)$$

когда малы все расстояния.

2.  $\phi_{\text{ост}}$  имеет простые полюса не более, чем по двум из шести аргументам одновременно. Например,

$$\phi_{\text{ост}} \sim \frac{1}{(x-z)^2 - i\epsilon} \frac{1}{y^2 - i\epsilon} \phi [ x^2, z^2, (x-y)^2, (z-y)^2 ], \quad (4)$$

где  $\phi$  уже регулярна при малых значениях своих аргументов. (Предположения I, II можно сформулировать и в терминах разложения произведений локальных и биллокальных операторов вблизи светового конуса).

Степени сингулярностей в (3), (4) соответствуют канонической размерности для скалярного тока. Отметим, что (3) и (4) выполняются в  $\phi^3$ -теории (с точностью до квадрата логарифма).

Предположений I, II достаточно для получения асимптотики амплитуды в области больших масс фотонов.

$$I. \quad p^2 \sim q^2 \rightarrow -\infty \quad p^2 q^2 \text{Ab}_s T(s, p^2, q^2) \rightarrow \phi_a \left( \frac{sm^2}{p^2 q^2} \right) + \phi_b \left( \frac{s}{p^2}, \frac{p^2}{q^2} \right) + \phi_c \left( \frac{s}{m^2}, \frac{p^2}{q^2} \right),$$

$$\phi_a(x) = \phi_{(4a)}(x) + \hat{\phi}_{\text{ост}}(x), \quad \hat{\phi}_{\text{ост}}(x) |_{x \ll 1} \rightarrow 0, \quad \phi_{(4a)}(x) |_{x \ll 1} \rightarrow \text{const},$$

$$\phi_b(x, y) |_{x \ll 1} \rightarrow 0, \quad \phi_b(x, y) |_{x \gg 1} \rightarrow 0, \quad \phi_c(x, y) |_{x \gg 1} \rightarrow 0.$$

Здесь  $p^2$  и  $q^2$  — массы фотонов,  $s = (p+q)^2$ ,  $m$  — характерная масса  $\sim 1/\Gamma\varepsilon$ , определяющая выход на асимптотику. Отметим харак-

терные особенности (5): а) при  $|p^2| \sim |q^2| \ll s \ll \frac{|p^2 q^2|}{m^2}$  и  $m^2 \ll s \ll |p^2| \sim |q^2|$

исчезает зависимость от всех трех переменных, т. е.  $p^2 q^2 \text{Ab}_s T(s, p^2, q^2) \sim \text{const}$ ; б)  $p^2 q^2 \text{Ab}_s T$  не стремится к нулю к пороговой (резонансной области)  $s \sim m^2$ ; в) при  $s m^2 \gg |p^2 q^2|$  остается зависимость лишь от одного параметра  $s m^2 / p^2 q^2$ , что согласуется с факторизацией Редже вычетов [3, 4] и с предсказаниями партонной модели для  $u$ -рассеяния [5]. (Отметим, что во всех трех работах [3, 5] указана неправильная область применимости результата,  $s \gg |p^2| \sim |q^2|$ . В действительности, при использованных в [3 – 5] предположениях, поведение в области  $|p^2| \sim |q^2| \ll s \ll |p^2 q^2| / m^2$  не может быть определено, и таким образом результат имеет смысл лишь при  $s m^2 \gg |p^2 q^2|$ ).

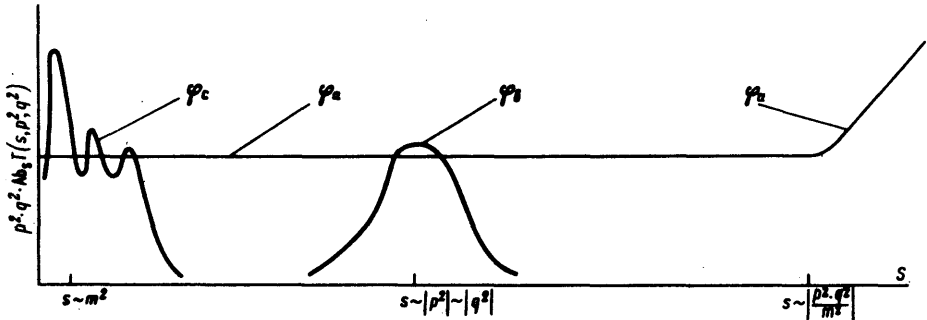


Рис. 2

На рис. 2 изображен один из вариантов качественного поведения амплитуды.

$$\text{II. } p^2 = \text{const} < 0, q^2 \rightarrow -\infty. \quad p^2 q^2 \text{Ab}_s T(s, p^2, q^2) \rightarrow \frac{p^2}{m^2} \phi\left(\frac{s}{q^2}, \frac{p^2}{m^2}\right),$$

$$\phi(x, y)|_{x \ll 1} \approx 0(x), \quad y \phi(x, y)|_{y \gg 1} \rightarrow \phi_a\left(\frac{x}{y}\right) = \phi_a\left(\frac{s m^2}{p^2 q^2}\right). \quad (6)$$

(В  $\phi^3$ -теории функция  $\phi_b$  в (5) представляет вклад диаграммы рис. 3, б функция  $\phi_a$  в (5), (6) – рис. 3, а и 3, d, функция  $\phi_c$  в (5) – рис. 3, с и функция  $\phi$  в (6) – рис. 3, е).

Отметим, что при  $m^2 \ll s \ll |p^2 q^2| / m^2$  основной вклад в  $\text{Ab}_s T$  дает область, где все расстояния малы. Таким образом, доминирует вклад функций  $\phi_a^a$  и  $\phi_b^b$  (в  $\phi^3$ -теории – диаграммы рис. 3, а и 3, б). Сильное взаимодействие в этой области эффективно выключено.

Общий масштабный множитель в левых частях (5), (6) обусловлен использованием скалярных фотонов. Для фотонов со спином единица, грубо говоря,  $\text{Ab}_s \bar{f}(s, p^2, q^2) \leftrightarrow p^2 q^2 \text{Ab}_s T(s, p^2, q^2)$ , где  $\bar{f}$  – усредненная по поляризациям амплитуда. Отметим однако, что описанный в этой работе простой подход эффективно соответствует партонам с целым спином, и с этим, по-видимому, связан факт отсутствия зависимости от  $p^2 / q^2$  в области  $m^2 \ll s \ll |p^2| \sim |q^2|$ . Использование партонных с полуцелым спином (см. рис. 3, а и 3, б, внутренняя линия – спинорное поле, внешняя – фотон со спином единицы) приводит к зависимости от  $p^2 / q^2$ .

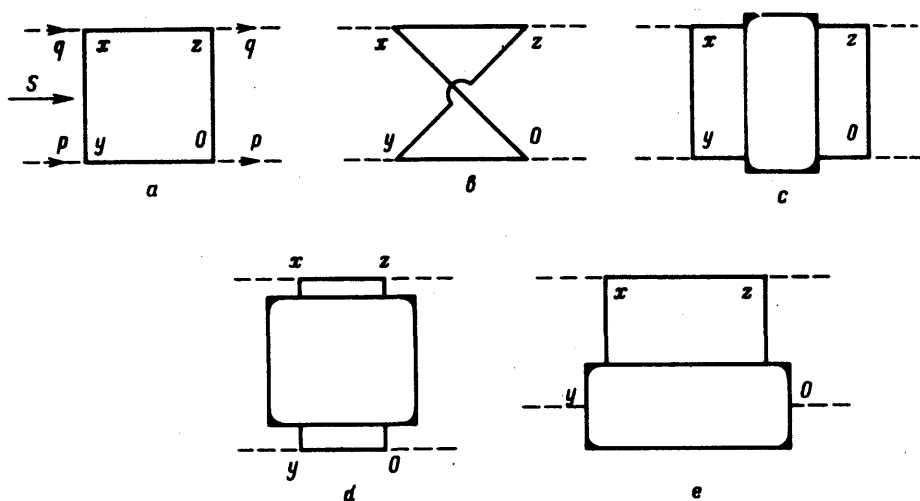


Рис. 3

Поведение 1, б согласуется с вычислением однорезонансного вклада в  $Ab_s T$ . Так как матричный элемент для  $Ab_s T$  в этом случае факторизуется, для вычисления достаточно использовать лишь разложение произведения двух токов вблизи светового конуса [6]. Кроме того, поскольку использование лишь разложения произведения двух токов достаточно для вычисления асимптотики двухфотонного форм-фактора любого резонанса, представление о Редже-траектории как о совокупности резонансов [7], позволяет получить асимптотику Редже-вычета. Вычет ведет себя как раз таким образом, что вклады Редже-траекторий остаются в пределе больших масс фотонов. Другими словами, Редже-траектории дают вклад в функции  $\phi_a$  в (5) и  $\phi$  в (6) и тем самым определяют их асимптотику:

$$\phi_a(x) |_{x \gg 1} \rightarrow \sum \beta_a x^a, \quad \phi(x, y) |_{x \gg 1} \rightarrow \sum \gamma_a(y) x^a. \quad (7)$$

Аналогичный результат можно получить и для двухреджеонных ветвлений.

Выражаю благодарность И.Ф.Гинзбургу и В.Г.Сербо за многочисленные полезные обсуждения, а также Н.Н.Ачасову, В.М.Будневу и Д.В.Ширкову за критические замечания.

Новосибирск  
государственный университет

Поступила в редакцию  
26 февраля 1972 г.

### Литература

- [1] В.Е.Балакин, В.М.Буднев, И.Ф.Гинзбург. Письма в ЖЭТФ, 11, 559, 1970; В.М.Буднев, И.Ф.Гинзбург. ЯФ, 13, 353, 1971.
- [2] Э.А.Чобан, В.М.Шехтер. Препринт ФТИ-331, Ленинград, 1971.
- [3] A.V.Efremov, I.F.Ginzburg. Phys. Lett., 36B, 371, 1971.

- [ 4 ] Ю.М.Шабельский. ЯФ, 14, 388, 1971.
- [ 5 ] Л.И.Перловский, Э.П.Хейфец. ЯФ, 15, 780, 1972.
- [ 6 ] R.A.Brandt, G.Preparata. Phys. Rev. Lett., 25, 1530, 1970.
- [ 7 ] V.Hove. Phys. Lett., 24B, 183, 1967.
-